

УДК 533.601.155

ИССЛЕДОВАНИЕ ВЛИЯНИЯ ВДУВА НА ТЕЧЕНИЕ В ГИПЕРЗВУКОВОМ ВЯЗКОМ УДАРНОМ СЛОЕ ВБЛИЗИ ЛИНИИ ТОРМОЖЕНИЯ ЗАТУПЛЕННОГО ТЕЛА

Э. А. ГЕРШБЕЙН, А. Ф. КОЛЕСНИКОВ

(Москва)

В рамках локально-автомодельного приближения уравнений Навье – Стокса исследуется осесимметричное течение однородного газа в гиперзвуковом ударном слое, включающем в себя область перехода через скачок уплотнения. Граничные условия, учитывающие вдув газа, задаются на поверхности тела и в невозмущенном потоке. Получено численное решение задачи в широком диапазоне изменения числа Рейнольдса и параметра вдува. Приводятся зависимости от параметра вдува, обычно используемого в теории пограничного слоя, коэффициентов трения и теплообмена на поверхности тела, отнесенных к их значениям, полученным при параметре вдува, равному нулю, и показано, что они универсальны и совпадают с аналогичными зависимостями, полученными из решения уравнений гиперзвукового вязкого ударного слоя с модифицированными соотношениями Ренкина – Гюгонно на ударной волне и из решения уравнений пограничного слоя.

Ранее исследование влияния вдува на параметры течения и теплообмен в вязком ударном слое проводилось в рамках теории гиперзвукового ударного слоя с обычными или обобщенными соотношениями Ренкина – Гюгонно на ударной волне (см., например, [1-4]). В [5] исследование вдува в сверхзвуковой поток проводилось в рамках полных уравнений Навье – Стокса с обычными соотношениями Ренкина – Гюгонно на ударной волне.

1. Рассмотрим обтекание гладкого затупленного осесимметричного тела гиперзвуковым потоком разреженного однородного газа, предполагая, что число Кнудсена мало и для расчета течения в возмущенной области применимы уравнения Навье – Стокса. Будем предполагать, что с поверхности тела, имеющего постоянную температуру, осуществляется равномерно распределенный по поверхности вдув, причем вдуваемый газ и газ набегающего потока имеют одинаковые свойства.

Представим решение уравнений Навье – Стокса, записанных в системе координат, нормально связанных с поверхностью тела, вблизи линии торможения в виде рядов по продольной координате и, используя локально-автомодельное приближение [6], достаточно точное для гладких тел [7, 8], получим систему обыкновенных дифференциальных уравнений для первых членов разложения, которую запишем в безразмерном виде, преобразовав к переменной Дороницына

$$(1.1) \quad \eta = (1+v) \int_1^r \rho r^v dr$$

$$(1.2) \quad (lf'' + ff')' = f'^2 + \frac{1}{1+v} f'(f' - v) + \frac{2}{1+v} \frac{P_2}{\rho}$$

$$\left(\frac{4}{3} l \frac{f}{\psi} \psi'' \right)' = \rho^2 \psi \left(\frac{\gamma-1}{\gamma} T - v^2 \right) \psi'' - \frac{f}{\psi} (f' - v) \psi' - \frac{\gamma-1}{\gamma} \rho T' \psi$$

$$\left\{ \frac{l}{\sigma} \left[H' + \left(\frac{4}{3} \sigma - 1 \right) \left(\frac{v^2}{2} \right)' \right] + fH \right\}' = f'H$$

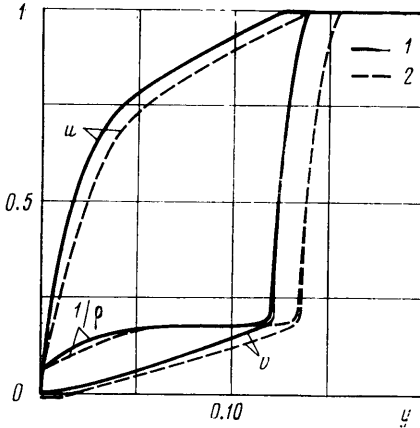
$$P_2' = -P_0' + \frac{f'(f' - v)}{(1+v)\psi}, \quad P_0 = \frac{\gamma-1}{\gamma} \rho T$$

$$v = \frac{f}{\psi} \psi', \quad \rho = \frac{1}{\psi'}, \quad r = \psi^{1/(1+v)}, \quad u = f'$$

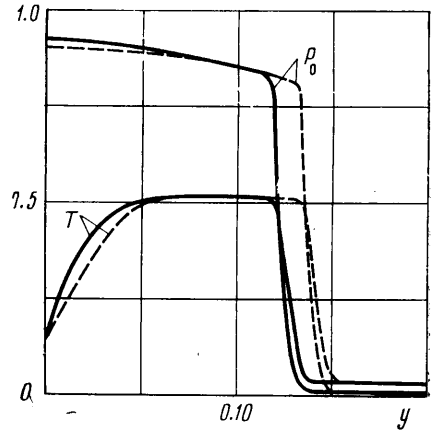
$$\mu = [(\gamma-1)M_\infty^2 T]^\alpha, \quad h = \int_0^T c_p dT, \quad r = 1+y$$

$$l = \frac{1+v}{Re_\infty} \mu \rho r^{1+2v}, \quad H = h + \frac{v^2}{2}, \quad 2P_2 = \frac{1}{x} \frac{\partial P}{\partial x}$$

Здесь и далее xR , yR — координаты, отсчитываемые вдоль поверхности тела и по нормали к ней; $xV_\infty u$, $-V_\infty v$ — составляющие вектора скорости; $V_\infty^2 h$, $\rho_\infty \rho$, $T_* T$, $\rho_\infty V_\infty^2 P$, $c_{p\infty} c_p$, $\mu_\infty \mu$, λ — соответственно энтальпия, плотность, температура, давление, теплоемкость, коэффициенты сдвиговой вязкости и теплопроводности; R — радиус кривизны поверхности в критической точке, индексы ∞ и w относятся к размерным величинам в набегающем потоке и к величинам на поверхности тела; $\nu=0$ для плоских, $\nu=1$ для осесимметричных течений; штрих обозначает дифференцирование по переменной η ; $T_* = (\gamma-1)M_\infty^2 T_\infty$, $Re_\infty = \rho_\infty V_\infty R / \mu_\infty$, $\sigma = \mu c_p / \lambda$, $f_w = -\rho_w v_w / \rho_\infty V_\infty$.



Фиг. 1



Фиг. 2

При написании уравнений опущены некоторые члены малого порядка. Граничные условия для уравнений (1.2) имеют вид

$$(1.3) \quad f=f_w, \quad f'=0, \quad \psi=1, \quad h=h_w \quad (\eta=0)$$

$$(1.4) \quad f' \rightarrow 1, \quad \psi' \rightarrow 1, \quad \psi \rightarrow f, \quad h \rightarrow 1/(\gamma-1)M_\infty^2, \quad P_2 \rightarrow 0 \quad (\eta \rightarrow \infty)$$

Уравнения (1.2) имеют особые точки [9-11], одна из которых соответствует набегающему потоку на бесконечности, вторая — критической точке потока, которая находится на поверхности тела в случае непроницаемой стенки [9, 10] или внутри потока при наличии вдува [11].

2. Задача (1.2) — (1.4) решалась на ЭВМ с использованием конечно-разностной схемы [12] с точностью аппроксимации $O(\Delta\eta^4)$. Конечно-разностные уравнения решались поочередно в порядке написания (1.2) методом прогонки с итерациями в силу нелинейности уравнений. При линеаризации и задании начальных профилей учитывался характер особых точек. При численном решении задачи второе граничное условие для функции ψ на бесконечности ($\psi \rightarrow f$) переносилось на поверхность тела путем однократного интегрирования уравнения импульсов в проекции на нормаль от некоторой точки η^* , расположенной в невозмущенном потоке, до поверхности тела. Новое граничное условие имеет вид

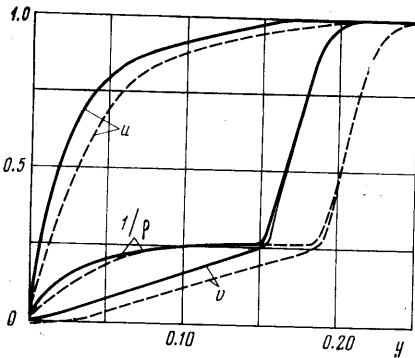
$$\frac{4}{3} \frac{1+\nu}{Re_\infty} \mu_w f_w \psi_w'' - \left[\left(1 + \frac{1}{\gamma M_\infty^2} \right) f(\eta^*) - \int_0^{\eta^*} \left(f'v + \frac{\gamma-1}{\gamma} T \right) d\eta \right] \psi_w' + f_w^2 \psi_w'^2 + \frac{\gamma-1}{\gamma} T_w = 0$$

Четвертое уравнение системы (1.2) интегрировалось от внешней границы расчетной области с той же точностью $O(\Delta\eta^4)$.

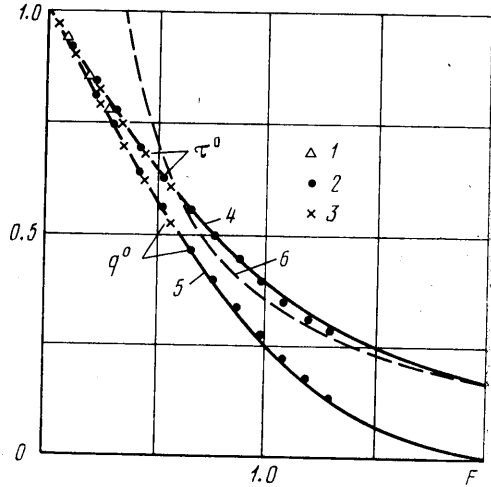
В численных расчетах варьировались параметры Re_∞ , f_w , γ , T_w/T_0 (T_0 — температура торможения) в следующих пределах: $Re_\infty = 10 \div 2500$; $-f_w = 0 \div 0.3$; $\gamma = 1.4, 5/3$;

$T_w/T_0=0.03, 0.3$. Числа M_∞, σ, ω принимали значения: $M_\infty=10, \sigma=0.75, \omega=0.5$. Теплоемкость газа считалась постоянной.

Некоторые результаты расчета приведены на фиг. 1–5. На фиг. 1–3 представлены характерные профили газодинамических параметров поперек ударного слоя около непроницаемой поверхности – кривые 1, и при наличии вдува – кривые 2. Фиг. 1, 2 соответствуют течению с параметрами $Re_\infty=1100, \gamma=1.4, T_w/T_0=0.3, -f_w=0, 0.1$. На фиг. 3 приведены некоторые результаты, полученные для случая сильно охлажденной поверхности при $Re_\infty=700, \gamma=5/3; -f_w=0, 0.2, T_w/T_0=0.03$.



Фиг. 3



Фиг. 4

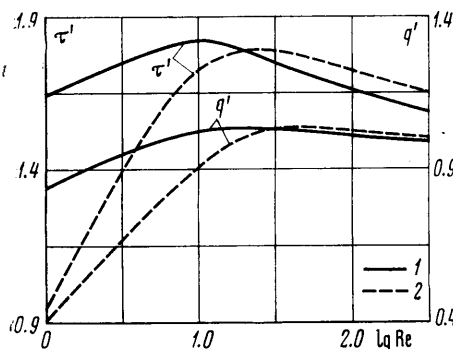
Анализ результатов расчета показывает, что при малых числах Рейнольдса влияние вдува с удельными расходами $-f_w \approx 0.1$ на характер течения в ударном слое, тепловые потоки и коэффициент трения на поверхности тела невелико. С увеличением числа Рейнольдса при фиксированном расходе влияние вдува усиливается – увеличивается отход ударной волны, давление и плотность на теле уменьшаются. В приведенных здесь решениях давление в слое вдува практически не меняется.

Для характеристики интенсивности вдува по его влиянию на параметры течения введем параметр вдува, обычно рассматриваемый в теории ламинарного пограничного слоя (см., например, [13])

$$(2.1) \quad F = -f_w \sqrt{\frac{Re}{1+\nu}} \left(\frac{\gamma-1}{\gamma+1} \right)^{1/4} (-2P_{2w})_{f_w=0}^{-1/4},$$

$$Re = \frac{\rho_\infty V_\infty R}{\mu(T_0)}$$

Данный параметр используется также в теории гиперзвукового вязкого ударного слоя на проницаемой поверхности с граничными условиями, задаваемыми на ударной волне [1, 14]. На фиг. 4 приведены в зависимости от параметра F коэффициент трения и тепловой поток на поверхности тела, отнесенные к их значениям, полученным при $F=0, \tau^0$ и q^0 . Точкам 1 соответствуют параметры $Re_\infty=100, \gamma=1.4$, точкам 2 – $Re_\infty=700, \gamma=5/3$, точкам 3 – $Re_\infty=1100, \gamma=1.4$. Температурный фактор во всех данных расчетах $T_w/T_0=0.3$. Кривыми 4 и 5 показаны зависимости τ^0 и q^0 , полученные из решения уравнений пограничного слоя, кривая 6 соответствует расчету по асимптотической формуле для трения при больших значениях параметра вдува [13]. Как видно из фиг. 4, все рассчитанные точки близки к кривым, полученным из решения уравнений пограничного слоя. Следует отметить, что кривые, полученные из решения уравнений гиперзвукового вязкого ударного слоя [1], которые



Фиг. 5

от числа Рейнольдса Re — кривые 1 ($\gamma=1.4$, $T_w/T_0=0.3$). Отметим, что при числах Рейнольдса $Re \approx 20$ коэффициент трения и тепловой поток, полученные при решении «усеченных» уравнений Навье — Стокса (1.2), удовлетворительно согласуются с результатами работы [15], в которой решались уравнения гиперзвукового вязкого ударного слоя с модифицированными условиями Ренкина — Гюнио на ударной волне (кривые 2).

здесь не приводятся, чтобы не загромождать фигуру, также практически совпадают с данными кривыми.

Таким образом, полученные здесь зависимости относительных величин коэффициента трения и теплового потока от параметра вдува F являются универсальными (при фиксированном температурном факторе) в широком диапазоне чисел Рейнольдса — от малых и умеренных до больших. При этом асимптотическое решение дает значения коэффициента трения, близкие к точным, полученным из решения уравнений Навье — Стокса в локально-автомодельном приближении, при $F \approx 1.5$ (для $T_w/T_0=0.3$).

На фиг. 5 приведены зависимости безразмерных значений коэффициента трения $\tau' = \mu (du/dy) \sqrt{Re}/Re_\infty$ и теплового потока $q' = (dT/dy) \sqrt{Re}/\sigma Re_\infty$ на поверхности тела

Поступила 4 IX 1978

ЛИТЕРАТУРА

1. Гершбейн Э. А., Тирский Г. А. Течение вязкого теплопроводного многокомпонентного газа в ударном слое в окрестности притупления при интенсивных вдувах. Науч. тр. Ин-та механ. МГУ, 1970, № 1.
2. Анжудинов А. Л. Расчет вязкого гиперзвукового ударного слоя с подводом массы при умеренно малых числах Рейнольдса. Изв. АН СССР, МЖГ, 1970, № 3.
3. Kang S. W. Hypersonic low-Reynolds-number flow over a blunt body with mass injection. AIAA Journal, 1969, vol. 7, No. 8.
4. Брыкина И. Г. Интегрирование уравнений гиперзвукового вязкого ударного слоя методом последовательных приближений. Ж. вычисл. матем. и матем. физ., 1978, т. 18, № 1.
5. Емельянова З. М., Павлов Б. М. Применение полных уравнений Навье-Стокса к расчету вдува с поверхности затупленного тела при сверхзвуковом обтекании. В сб. «Численные методы в аэродинамике», вып. 2, М., Изд-во МГУ, 1977.
6. Као. Гиперзвуковое вязкое течение вблизи критической линии тока затупленного тела, ч. 1, 2. Ракетная техника и космонавтика, 1964, т. 2, № 11.
7. Li C. P. Hypersonic nonequilibrium flow past a sphere at low Reynolds numbers. AIAA paper, 1974, No. 173.
8. Афонина Н. Е., Громов В. Г., Савинов К. Г., Шкадова В. П. Неравновесное обтекание затупленного конуса сверхзвуковым потоком углекислого газа. Отчет Ин-та механ. МГУ, 1976, № 1813.
9. Левинский Е., Иосифара Х. Обтекание сферы гиперзвуковым потоком разреженного газа. В сб. «Исследование гиперзвуковых течений». М., «Мир», 1964.
10. Архипов В. Н., Поленов А. Н. Обтекание сферы гиперзвуковым потоком вязкого релаксирующего газа. Изв. АН СССР, МЖГ, 1971, № 3.
11. Гершбейн Э. А., Колесников А. Ф. Численное решение уравнений Навье — Стокса в окрестности приглушения тел, обтекаемых гиперзвуковым потоком разреженного газа при наличии вдува. В сб. «Аэродинамика гиперзвуковых течений при наличии вдува». М., Изд-во МГУ, 1979.
12. Петухов И. В. Численный расчет двумерных течений в пограничном слое. В сб. «Численные методы решения дифференциальных и интегральных уравнений и квадратурные формулы». М., «Наука», 1964.
13. Гершбейн Э. А. Ламинарный многокомпонентный пограничный слой при больших вдувах. Изв. АН СССР, МЖГ, 1970, № 1.
14. Гершбейн Э. А. Теория гиперзвукового вязкого ударного слоя при больших числах Рейнольдса и при сильном вдуве инородных газов. ПММ, 1974, т. 38, № 6.
15. Анжудинов А. Л. Вязкий ударный слой около параболоида вращения. Тр. ЦАГИ, 1973, № 1448.